



# Laboratorio di Crittografia

*(Crypto Engineering)*

---

Prof. Mario Di Raimondo

a.a. 2016–2017

C.d.L. in Informatica (magistrale)

Dipartimento di Matematica e Informatica – Catania



- **docente:** Prof. Mario Di Raimondo
  - email: `diraimondo(at)dmi.unict.it`
  - home-page: <http://www.dmi.unict.it/diraimondo/>
  - telefono: 095 738 3038
  - ufficio: MI-32 — Blocco III — DMI
- **pagina del corso:**  
<http://www.dmi.unict.it/diraimondo/web/teaching/crypto/>
- **Studium**
- **calendario** (lezioni, ricevimento, esami)
- **gruppo Facebook** del DMI
- **FAQ**

**durata** 6 CFU (48 ore)

- requisiti**
- basi teoriche sulla moderna Crittografia
  - buone capacità di programmazione
  - infarinatura di networking

**propedeuticità** Crittografia

**esame** assegnamento di un **articolo scientifico** in lingua originale (no dimostrazioni):

- ~~mini seminario (20 minuti circa)~~
- progetto implementativo
- colloquio orale (progetto e programma del corso)

# Ciphertext Indistinguishability

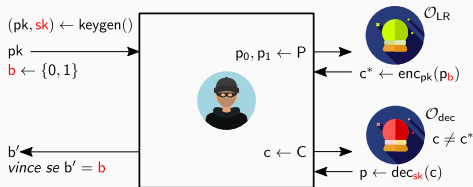
Il gioco IND prevede **due fasi**:

**find** alla fine di questa fase l'avversario sceglie due messaggi  $p_0, p_1$  di uguale lunghezza;

**guess** all'avversario è dato  $c^*$ , la cifratura di  $p_b$ , dove  $b$  è un **bit segreto** a lui nascosto; il suo obiettivo è indovinare  $b$  con probabilità maggiore di  $\frac{1}{2}$ .

Combinato con i **vari attacchi**: IND-PASS, IND-CPA e IND-CCA.

Guardiamo alla **versione asimmetrica** di IND-CCA:



La **versione simmetrica** ha in più l'oracolo  $\mathcal{O}_{enc}$ .

# Curve Ellittiche

## curva ellittica (forma normale di Weierstrass) su $\mathbb{Z}_p$

La figura geometrica descritta dai punti  $(x,y) \in \mathbb{Z}_p^2$ , con  $p > 3$ , che soddisfano la seguente congruenza:

$$y^2 \equiv x^3 + a \cdot x + b \pmod{p}$$

dove  $a, b \in \mathbb{Z}_p$  e per cui vale la condizione  $4 \cdot a^3 + 27 \cdot b^2 \not\equiv 0 \pmod{p}$  (la curva non è super-singolare).

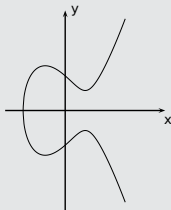
Aggiungiamo anche un **punto all'infinito** denotato da 0 (zero).

## esempio su $\mathbb{R}$

curva  $y^2 = x^3 - 3 \cdot x + 3$  in  $\mathbb{R}$

osservazioni:

- simmetrica rispetto all'asse  $x$ ;
- tocca l'asse  $x$  in un punto;
- ogni retta tocca la curva in 3 punti (al limite 2 all'infinito).



# Assembliamo il Gruppo

**elementi** le coppie di punti  $(x, y) \in \mathbb{Z}_p$  che soddisfano l'equazione caratterizzante;

**identità** utilizziamo il punto all'infinito (zero);

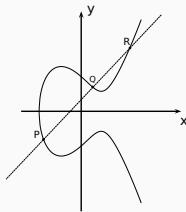
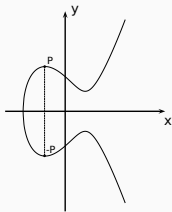
**inversione** dato un punto sulla curva, prendiamo il suo speculare rispetto all'asse  $x$ ;

**operazione** definiamola in base alla seguente regola:

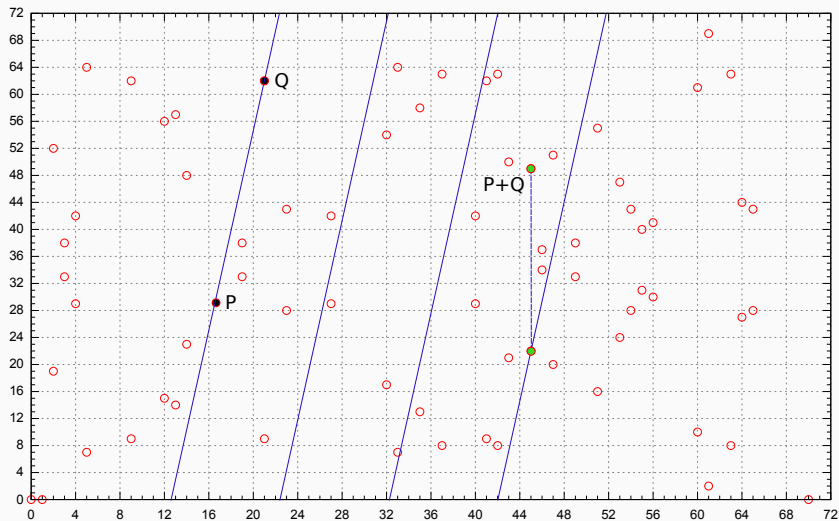
dati 3 punti allineati non nulli  $P, Q, R$ , la loro somma deve dare zero:

$$P + Q + R = 0$$

Si tratta di un gruppo abeliano.



# Addizione in Versione Geometrica Discreta



# Esponenziazione a Rango $k$

Generalizziamo elaborando  $k$  bit alla volta, lavorando su base  $b = 2^k$

📄 algoritmo di esponenziazione a rango  $k$

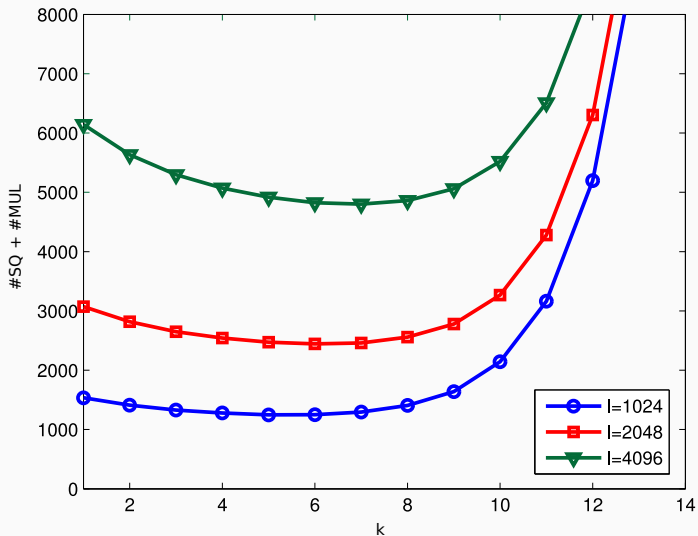
**Input:** base  $g$ , modulo  $n$ , esponente  $e = (E_t E_{t-1} \dots E_1 E_0)_b$  con  
 $b = 2^k$  per qualche  $k \geq 1$  e  $E_i \in \{0, 1, \dots, 2^k - 1\}$

**Output:**  $g^e \bmod n$

```
1  $G_0 \leftarrow 1$ 
2 for  $i$  from 1 to  $2^k - 1$  do
3    $G_i \leftarrow G_{i-1} \cdot g \bmod n$ 
4  $A \leftarrow G_{E_t}$ 
5 for  $i$  from  $t - 1$  downto 0 do
6    $A \leftarrow A^{2^k} \bmod n$ 
7    $A \leftarrow A \cdot G_{E_i} \bmod n$ 
8 return  $A$ 
```



# Esponenziazione a Rango $k$ : Analisi

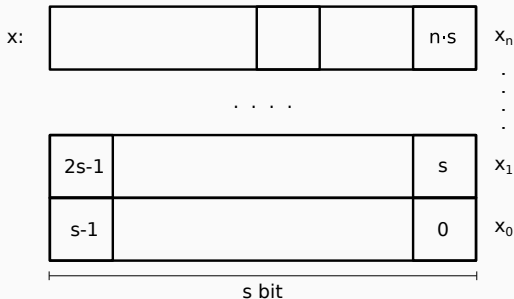


# Multi-Precision Integer e Loro Rappresentazione

## multi-precision integer (mpi)

Aritmetica su numeri più grandi della **word** di base del calcolatore

**Rappresentazione** tramite word da  $s$  bit di un MPI:



$$x = (x_n, x_{n-1}, \dots, x_1, x_0) = x_n b^n + x_{n-1} b^{n-1} + \dots + x_1 b^1 + x_0 b^0$$

Le operazioni sugli  $x_i$  sono operazioni **atomiche** a **singola-precisione**.

# Misurare con Precisione il Tempo

## Motivazioni:

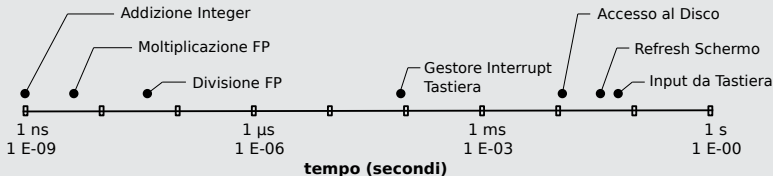
- **comparare** le prestazioni di due primitive;
- misurare il **throughput** di una primitiva;
- **timing attack**.

## perchè?

L'analisi della **complessità asintotica algoritmica** ci da importanti indicazioni ma per disambiguare certi scenari bisogna misurare il **livello di ingegnerizzazione** delle implementazioni.

## scala dei tempi su un elaboratore

riferimento: una macchina ad 1 GHz



# Esponenziazione Modulare

## ⚙️ esponenziazione modulare

```
void mpz_mod(mpz_t r, mpz_t n, mpz_t d);  
int  mpz_invert(mpz_t rop, mpz_t op, mpz_t mod);  
void mpz_powm(mpz_t rop, mpz_t base, mpz_t exp, mpz_t mod);  
void mpz_powm_ui(mpz_t rop, mpz_t base, unsigned long int exp,  
                mpz_t mod);
```

## algoritmo impiegato

Algoritmo a finestra fissa (a rango  $k$ ) nel dominio di Montgomery:  
dimensione che cresce con la taglia dell'esponente a scaglioni prestabiliti:

finestra (bit)	2	3	4	5	6	7	8	...
dim. max esp (bit)	25	81	241	673	1793	4609	11521	...

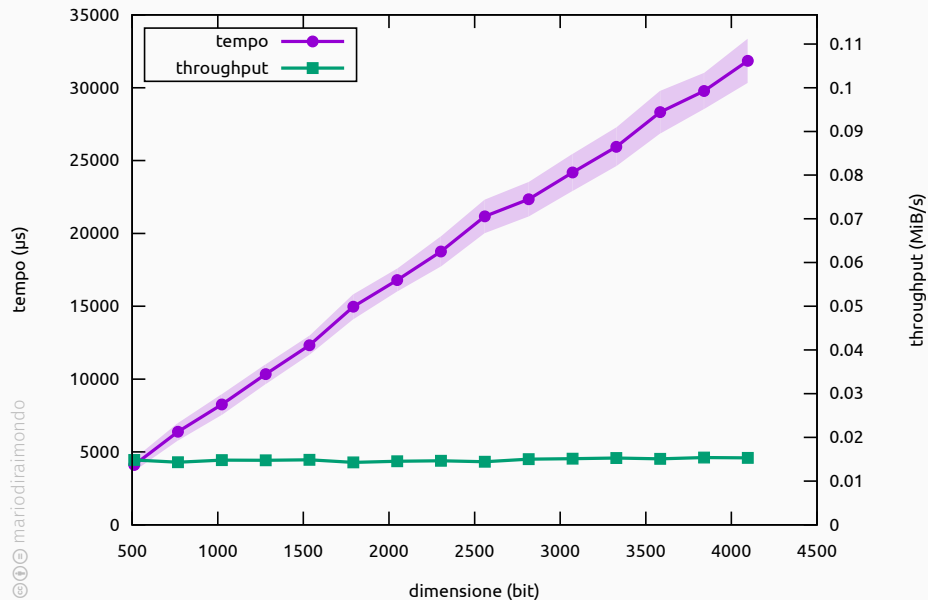
studio: test-mpz-powm.c 

## ⚙️ variante sicura

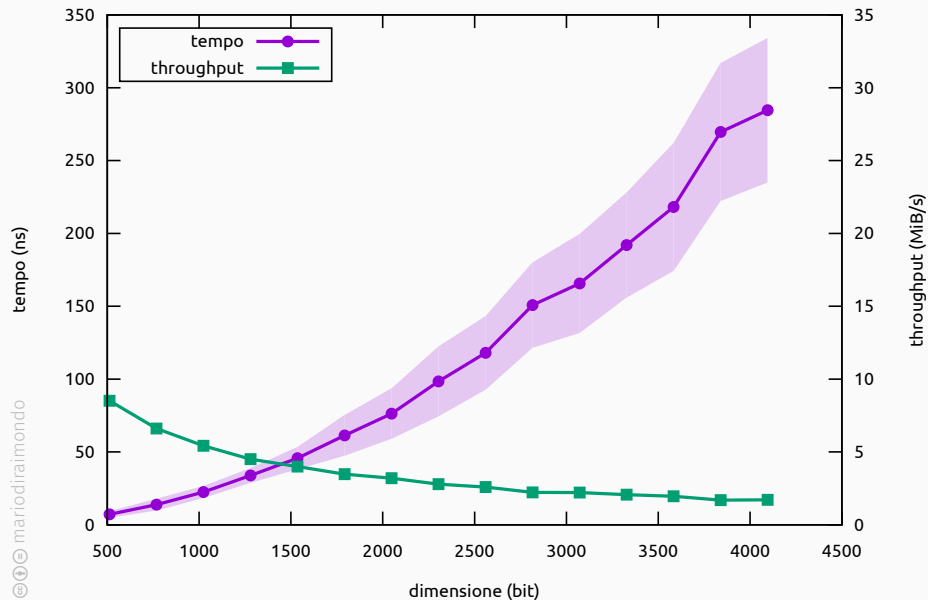
```
void mpz_powm_sec(mpz_t rop, mpz_t base, mpz_t exp, mpz_t mod);
```

studio: test-mpz-powm-sec.c 

# Esponenziazione Modulare GMP tipo $MPI^{MPI}$ : Prestazioni



# Esponenziazione Modulare GMP tipo $MPI^{SPI}$ : Prestazioni



# Esponenziazione Modulare con Precomputazione


La libreria GMP non offre alcuna implementazione che sfrutti la precomputazione off-line.

libreria: `lib-powm.c/.h`  

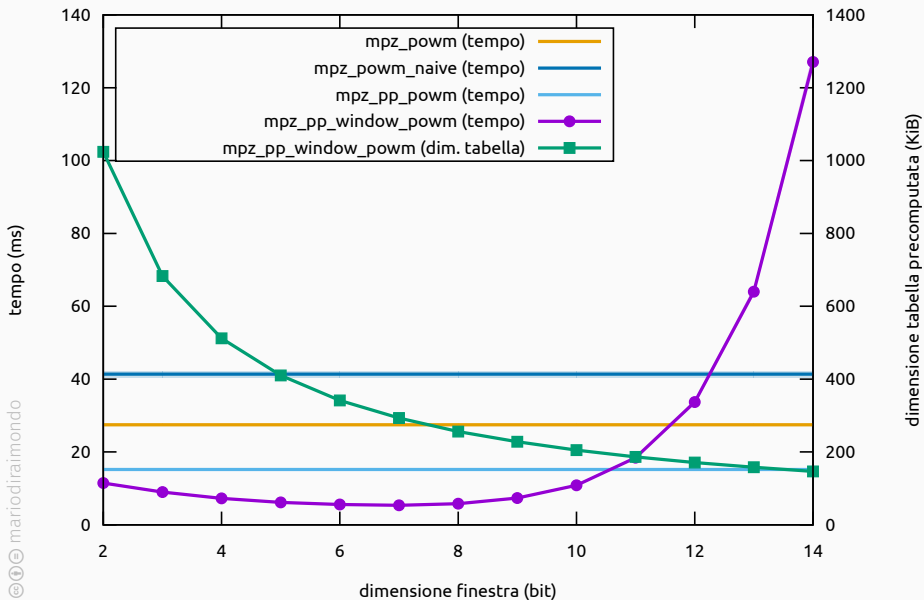
## metodi aggiuntivi

```
void mpz_pp_powm_init(mpz_pp_powm_t pp, size_t exp_bits,
                    mpz_t base, mpz_t mod);
void mpz_pp_powm(mpz_t res, mpz_t exp, mpz_pp_powm_t pp);
void mpz_pp_powm_clear(mpz_pp_powm_t pp);

void mpz_pp_window_powm_init(mpz_pp_window_powm_t pp, size_t
                            exp_bits, size_t window_size,
                            mpz_t base, mpz_t mod);
void mpz_pp_window_powm(mpz_t res, mpz_t exp,
                        mpz_pp_window_powm_t pp);
void mpz_pp_window_powm_clear(mpz_pp_window_powm_t pp);
```

studio: `test-mpz-pp-w-powm.c` 


# Esponenziazione Mod. con Precomputazione: Prestazioni





# Seed Random

Qualunque PRNG ha bisogno di seed veramente random e non predicibili. Possibili fonti:

- **clock di sistema**: poco sicuro;
- **collezionare entropia**:
  - **a livello di applicazione**: poco pratico ma plausibile;
  - **a livello di sistema**: gestito direttamente dal Sistema Operativo;
  - **a livello di servizio**: ad es. EGD  (Entropy Gathering Daemon).

**Interfacce** offerte per il pool di sistema:


**Linux** dispositivi virtuali `/dev/random` e `/dev/urandom`;

> quanta entropia ho?

```
cat /proc/sys/kernel/random/entropy_avail
```

**Mac OS X** come Linux ma con una semantica unificata (non bloccante);

**Windows** esiste l'API WIN32 `CryptGenRandom`.

libreria: `lib-misc.c/.h`   esempio: `test-random.c` 

# Attacco Basato sull'Oracolo di Padding (PKCS#1 v1.5)

## idea di base (Bleichenbacher)

Avendo un oracolo  $\mathcal{O}_{PKCS}(c)$  che mi dice se il messaggio cifrato  $c = \text{enc}_{pk}(m)$  è *PKCS#1 v 1.5 conforming*, potrei dedurre alcune informazioni sul messaggio  $m$ .

Altro attacco teorico? Tutt'altro: *SSL 3* espone un oracolo simile!

- se  $\mathcal{O}_{PKCS}(c) = \checkmark$ , allora  $m \in [2B, 3B - 1]$ , dove  $B = 2^{8(k-2)}$  e  $k = |n|$  in byte;
- se troviamo un  $s$  intero tale che  $\mathcal{O}_{PKCS}(c \cdot s^e) = \checkmark$ , allora anche  $m \cdot s \in [2B, 3B - 1]$ : questo mi da ulteriori informazioni su  $m$ !

L'algoritmo itera continuamente **2 passi** di base:

**passo 1** *ricerca* possibili  $s$  per cui  $\mathcal{O}_{PKCS}(c \cdot s^e) = \checkmark$ ;

**passo 2** dato un tale  $s$ , *restringe* l'intervallo di ricerca per  $m$ .

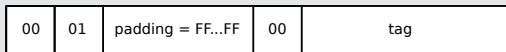
**Passi extra** se il messaggio cifrato originale non è già conforme.

esempio: `attack-rsa-padding-oracle.c` 

# Padding per Firma RSA

## padding disponibili

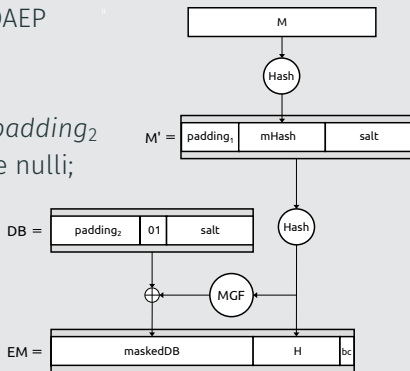
**PKCS#1 v1.5** simile a quello visto per la cifratura con



$|padding| \geq 8$  e *tag* un encoding particolare del digest del messaggio e del tipo di funzione utilizzata;

**EMSA-PSS** simile a EME-OAEP in PKCS# v2.0

con  $padding_1$  e  $padding_2$  composti da byte nulli;



Variante dello schema precedente facente parte dello standard **Digital Signature Standard** (DSS) del NIST.

## schema

$(pk, sk) \leftarrow \text{keygen}()$  dato  $p$  primo ( $L$  bit) con  $q$  primo ( $N$  bit) divisore di  $p - 1$ ,  
sia  $g$  un generatore del sottogruppo  $G_q$  ordine  $q$ ,  
si scelga a caso  $d \in [2, \dots, q - 1]$ ,  
si calcoli  $y = g^d \bmod p$   
 $\Rightarrow pk = (p, q, g, y), sk = (d)$

$(r, s) \leftarrow \text{sig}_{sk}(m)$  si scelga a caso  $k \in [1, \dots, q - 1]$ ,  
si calcoli  $r = (g^k \bmod p) \bmod q$ ,  
 $s = (\text{hash}(m) + dr) \cdot k^{-1} \bmod q$

$\text{ver}_{pk}(m, (r, s))$  si calcoli  $w = s^{-1} \bmod q$  e  $\text{hash}(m)$ ,  
si calcoli  $u_1 = w \cdot \text{hash}(m) \bmod q, u_2 = w \cdot r \bmod q$ ,  
si verifichi che  $(g^{u_1} \cdot y^{u_2} \bmod p) \stackrel{?}{\equiv} r \bmod q$

L'utilizzo di un **buon PRNG** con le firme DSA è un requisito fondamentale.

## attacco

Avendo **due messaggi diversi**  $m_1, m_2$  firmati riutilizzando lo **stesso segreto effimero**  $k$ , vediamo come è possibile recuperare la **chiave di firma**  $d$ !

Ma figurati se può succedere in pratica... **Sony PS3 hack!** QQ

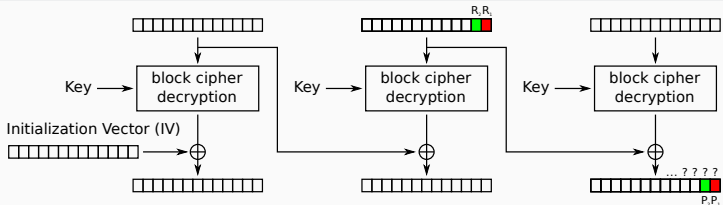
## contromisure

- essere sicuri di usare un buon PRNG;
- rendere deterministico lo schema:  $k \leftarrow \text{hash}(sk||m)$ ; Q
- un approccio ibrido nel caso in cui lo PRNG facesse cilecca:  $k \leftarrow \text{hash}(sk||m||\$)$ .

# Attacco OW-CCA basato sull'Oracolo di Padding CBC (Vaudenay)

## scenario

- stiamo usando la strategia **MAC-then-Encrypt** con padding PKCS#7;
- abbiamo un **oracolo**  $\mathcal{O}_{MAC}^{CBC}(c)$  che riporta: *padding-error* o *mac-error*; **errore generico**? ci si può basare sul timing!



## strategia

1. alteriamo  $R_1 \in [00, \dots, FF]$  finché  $\mathcal{O}_{MAC}^{CBC}(c_{R_1}) = \text{mac-error}$ :  
 $\Rightarrow$  abbiamo trovato  $P_1 = R_1 \oplus 1!$
2. fissato  $\bar{R}_1 = P_1 \oplus 2$ , alteriamo anche  $R_2$  finché  $\mathcal{O}_{MAC}^{CBC}(c_{\bar{R}_1, R_2}) = \text{mac-error}$ :  
 $\Rightarrow$  abbiamo trovato anche  $P_2 = R_2 \oplus 2!$
3. e così via, troviamo tutti gli altri blocchi!



# Modalità di Cifratura Autenticata — AEX e GCM

## EAX

AEAD

nato come rimpiazzo di CCM, aggiunge:

- 👍 supporta i dati associati esterni
- 👍 supporta la modalità on-line
- 👍 facile da implementare

## GCM – galois counter mode

AEAD

- 👍 fornisce autenticazione
- 👍 supporta i dati associati esterni
- 👍 parallelizzabile
- 👍 supporta la modalità on-line
- 👍 può sfruttare un supporto hardware AES-NI e PCLMULQDQ
- 👎 supporta accesso diretto (ma senza autenticazione)
- 👎 usa una nonce random ⚠️



# Modalità di Cifratura Autenticata — GCM in Nettle

## 🔧 supporto GCM

```
#include <nettle/gcm.h>

struct gcm_key;
struct gcm_ctx;
#define GCM_BLOCK_SIZE 16
#define GCM_DIGEST_SIZE 16
#define GCM_IV_SIZE 12

void gcm_set_key(struct gcm_key *key, void *cipher, nettle_cipher_func *f);
void gcm_set_iv(struct gcm_ctx *ctx, struct gcm_key *key,
               size_t length, uint8_t *iv);
void gcm_update(struct gcm_ctx *ctx, struct gcm_key *key,
               size_t length, uint8_t *data);
void gcm_encrypt(struct gcm_ctx *ctx, struct gcm_key *key,
                 void *cipher, nettle_cipher_func *f,
                 size_t length, uint8_t *dst, uint8_t *src);
void gcm_decrypt(struct gcm_ctx *ctx, struct gcm_key *key,
                 void *cipher, nettle_cipher_func *f,
                 size_t length, uint8_t *dst, uint8_t *src);
void gcm_digest(struct gcm_ctx *ctx, struct gcm_key *key,
                void *cipher, nettle_cipher_func *f,
                size_t length, uint8_t *digest);
```

studio: test-cipher-modes.c 

# Mappe Bilineari

## definizione

Siano  $G_1, G_2$  due **gruppi ciclici additivi** di **ordine primo**  $r$  e  $G_T$  un altro gruppo di ordine  $r$  ma **moltiplicativo**. Una **mappa bilineare** (detta anche **pairing**) è una mappa  $e : G_1 \times G_2 \rightarrow G_T$  che soddisfa le seguenti proprietà:

1. **bilineare**:  $\forall a, b \in F_r^*, \forall P \in G_1, Q \in G_2 : e(aP, bQ) = e(P, Q)^{ab}$ ;
2. **non-degenerare**:  $\exists P \in G_1, Q \in G_2 : e(P, Q) \neq 1$ ;
3. **computabile**:  $e$  è computabile in modo efficiente.

## classificazione

Una mappa bilineare può essere **simmetrica** ( $G_1 = G_2$ ) o **asimmetrica** ( $G_1 \neq G_2$ ); in particolare si distinguono mappe di:

**tipo 1**  $G_1 = G_2$ ;

**tipo 2**  $G_1 \neq G_2$  ed **esiste** un **omomorfismo** efficientemente computabile da  $G_2$  a  $G_1$ ;

**tipo 3**  $G_1 \neq G_2$  ed **non esiste** un **omomorfismo** efficientemente computabile tra  $G_2$  e  $G_1$ .

# Uno Studio Comparativo tra Curve/Pairing

## dimensioni con sicurezza a 80 bit

nome PBC	tipo	emb. deg.	dimensione (bit)					
			ordine	$F_q$	$G_1$	$G_2$	$G_t$	$Z_r$
A	1 (s)	2	160	512	512+1	512+1	1040	160
A1	1 (s)	2	512	520	520+1	520+1	1040	512
D	3 (a)	6	168	176	176+1	528+1	1056	168
E	1 (s)	1	160	1024	1024+1	1024+1	1024	160
F	3 (a)	12	160	160	160+1	320+1	1920	160
G	3 (a)	10	152	152	152+1	760+1	1520	152

## prestazioni con sicurezza a 80 bit

n.	$G_1$ ( $\mu s$ )			$G_2$ ( $\mu s$ )			$G_t$ ( $\mu s$ )			pairing ( $\mu s$ )	
	+	$\times$	pp	+	$\times$	pp	$\times$	exp	pp	e()	pp
A	3.68	1738	230	3.62	1738	230	0.87	144	28	1074	476
A1	4.07	5680	842	4.08	5688	848	1.03	504	108	5117	1420
D	1.81	684	69	18.94	5215	708	5.41	1111	180	3937	2923
E	8.34	3626	501	8.38	3620	502	0.68	94	21	3729	3726
F	1.73	613	58	3.71	1155	127	22.71	4592	698	20253	20276
G	1.55	583	46	38.15	9519	1215	15.99	2963	451	10770	10606

# Curve Standard del NIST in Nettle

## ⚙️ operazioni sui punti

```
void ecc_point_mul(struct ecc_point *r, struct ecc_scalar *n,  
                  struct ecc_point *p);  
void ecc_point_mul_g(struct ecc_point *r, struct ecc_scalar *n);
```

La moltiplicazione (addizione reiterata di punti) del generatore  $g$  utilizza **precomputazione**.

studio: test-nettle-ecc.c 

# Side Channel











## side channel

L'analisi di alcune caratteristiche delle implementazioni crittografiche che permettono di carpire informazioni (anche parziali) sui segreti celati (messaggi, chiavi, ...).

## vita reale

Articolo "And Bomb The Anchovies" sul Times Magazine del 1990. 

## esempi

- tempo
- dimensione dei pacchetti di rete
- consumo energetico  
- utilizzo della cache   
- residui di segreti in memoria RAM  
- suono   

## storia

1. Il pioniere è stato **Kocher** nel 1996: limitato allo **Square-and-Multiply** ma applicabile anche a DH e DSA;
2. nel 2000 **Schindler** estese l'attacco anche al caso in cui si impiega il **Teorema Cinese del Resto** (TCdR) e le **moltiplicazioni di Montgomery**;
3. nel 2003 **Brumley e Boneh** mostrarono il primo **attacco remoto** su un server reale (**OpenSSL**) supportando anche l'esponentiazione a **Sliding Window** e l'uso **Karatsuba**.

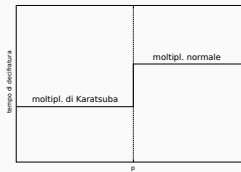
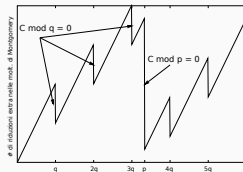
# Attacco di Brumley e Boneh – Scenario





Attacco remoto ad un server web che usava OpenSSL per cifrature/decifrate RSA, impiegando S-a-M con TCdR, moltiplicazioni di Montgomery, a sliding window (rango  $k$ ) e di Karatsuba.

## differenze di tempo sfruttate











1. il numero di **riduzioni extra** nelle moltiplicazioni di Montgomery (Schindler): se  $C$  è vicino a  $p$ , con  $C < p$ , allora le riduzioni extra aumentano (e così  $T(C)$ ); se invece  $C > p$ , queste diminuiscono;
2. utilizzo di **Karatsuba** solo nel caso di operandi simmetrici: se  $C$  è vicino a  $p$ , con  $C < p$  gli operandi sono spesso di dimensioni simili e viene usato l'algoritmo ricorsivo (diminuisce  $T(C)$ ), se  $C > p$  viene invece usato quello generico (a causa della riduzione mod  $p$ ).






Ma sono **effetti contrari**...








-  A.J. Menezes, P.C. van Oorschot, S.A. Vanstone  
**Handbook of Applied Cryptography**  
ISBN 978-0-8493-8523-0
-  C. Paar, J. Pelzl  
**Understanding cryptography: a textbook for students and practitioners**  
ISBN 978-3-642-04101-3 / bib. DMI coll. AC-11/12
-  N.P. Smart  
**Cryptography Made Simple**  
ISBN 978-3-319-21935-6 / bib. DMI coll. AC-11/11
-  R. Bryant, D. O'Hallaron  
**Computer Systems: A Programmer's Perspective (prima edizione)**  
ISBN 978-0-130-34074-0



-  The Linux man-pages project  
**Linux Programmer's Manual (man pages)** 
-  Free Software Foundation  
**The GNU Multiple Precision Arithmetic Library** 
-  Niels Möller  
**Nettle: a low-level cryptographic library** 
-  Ben Lynn  
**PBC Library Manual** 
-  G. Paoloni  
**How to Benchmark Code Execution Times on Intel® IA-32 and IA-64 Instruction Set Architectures** 

-  D. Bleichenbacher  
Chosen Ciphertext Attacks Against Protocols Based on the RSA Encryption Standard PKCS #1 [↗](#)
-  RSA Laboratories  
PKCS #1 v2.2: RSA Cryptography Standard [↗](#)
-  D. Boneh, A. Joux, P.Q. Nguyen  
Why textbook ElGamal and RSA encryption are insecure [↗](#)
-  National Institute of Standards and Technology (NIST)  
Digital Signature Standard (DSS) [↗](#)
-  S. Vaudenay  
Security Flaws Induced by CBC Padding – Applications to SSL, IPSEC, WTLS... [↗](#)

-  M. Albrecht, K. Paterson, G. Watson  
**Plaintext Recovery Attacks Against SSH** 
-  S. Galbraith, K. Paterson, N. Smart  
**Pairings for cryptographers** 
-  D. Boneh, B. Lynn, H. Shacham  
**Short Signatures from the Weil Pairing** 
-  D. Bernstein  
**Curve25519: new Diffie-Hellman speed records** 
-  P. Kocher  
**Timing Attacks on Implementations of Diffie-Hellman, RSA, DSS, and Other Systems** 



W. Schindler

**A Timing Attack against RSA with the Chinese Remainder Theorem**



D. Brumley, D. Boneh

**Remote Timing Attacks are Practical**



T. Duong, J. Rizzo

**The CRIME Attack**



T. Be'ery, A. Shulman

**A Perfect CRIME? TIME Will Tell**



Y. Gluck, N. Harris, A. Prado

**BREACH: SSL, gone in 30 seconds**



T. Duong, J. Rizzo

**Here Come the  $\oplus$  Ninjas**